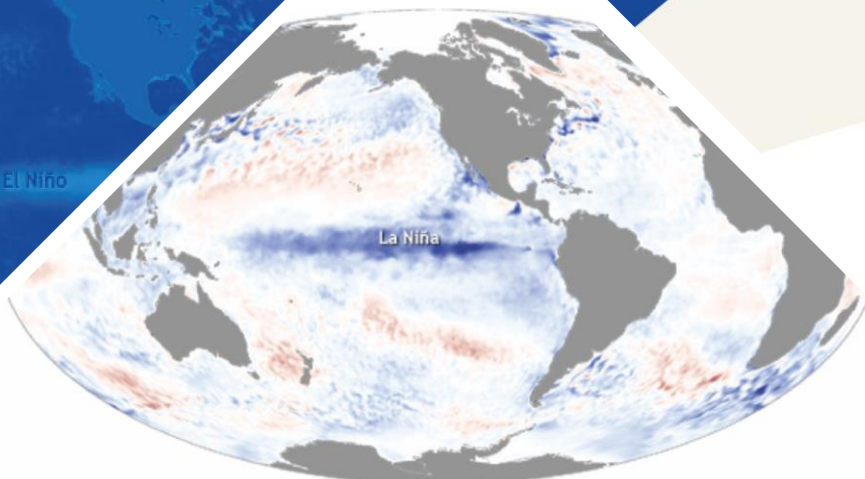


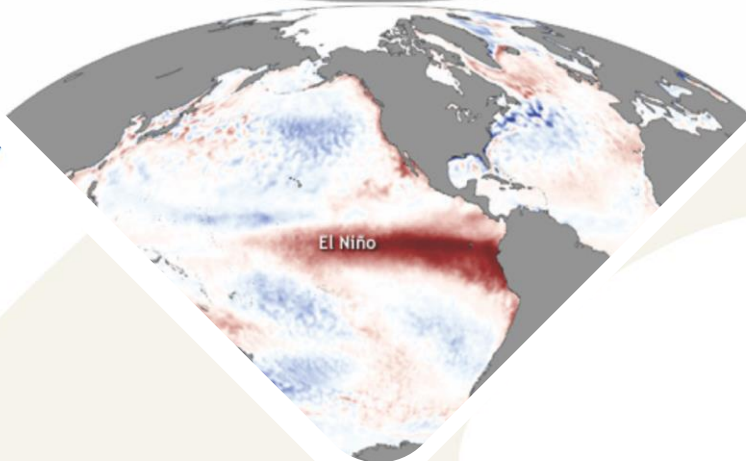
La Niña

BOLETÍN DE MONITOREO FENÓMENO «EL NIÑO / LA NIÑA»

El Niño



La Niña

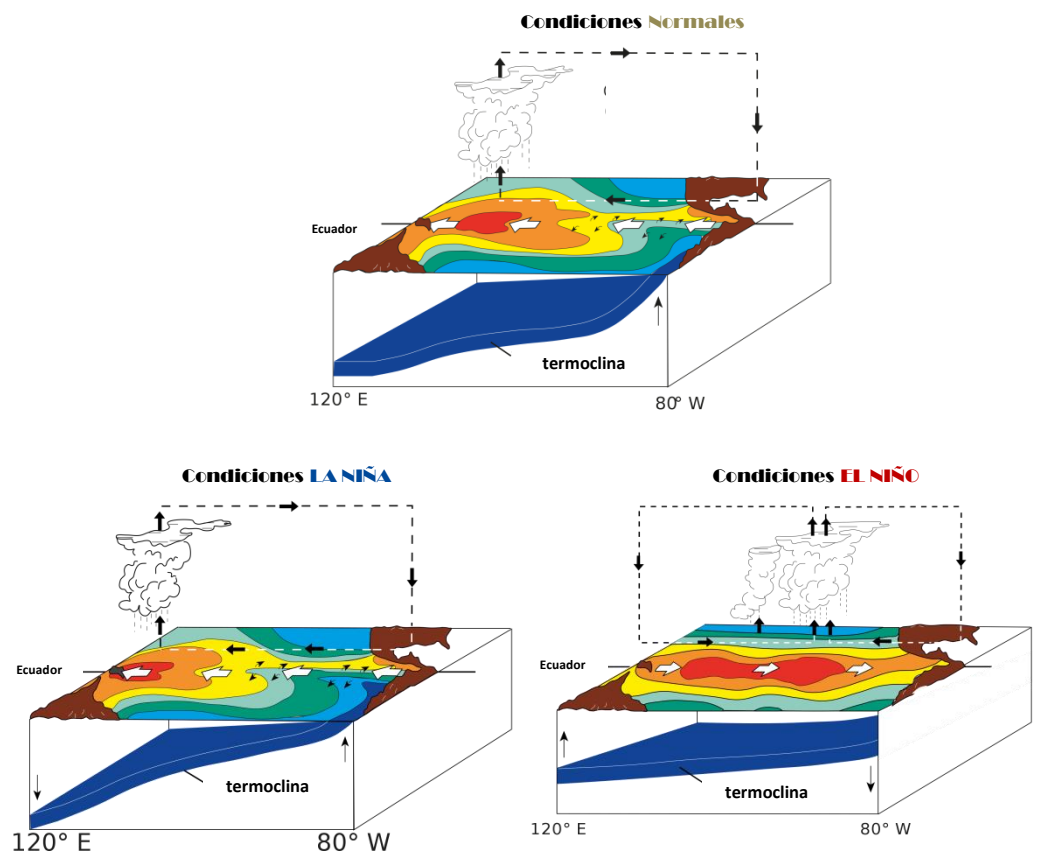


El Niño



Presentación

El SENAMHI brinda a tomadores de decisión, planificadores, agricultores, medios y a la población en general, una síntesis útil y oportuna sobre el **Monitoreo del Fenómeno El Niño/ La Niña** correspondiente mes de **FEBRERO** del 2020.



Condiciones Normales: Estacionalmente existe mayor aplastamiento (Convección) en la región oriental (occidental) del Pacífico ecuatorial, lo cual modula el clima tropical contribuyendo en la mayor estabilidad (inestabilidad) de la atmósfera .

Condiciones La Niña: La Circulación ecuatorial se intensifica al incrementarse la surgencia fría por los vientos alisios más intensos. Y, la refuerza la dinámica de la Circulación de Walker inclinándose más la termoclina.

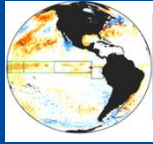
Condiciones El Niño: La Circulación de Walker se debilita, y con ello se homogeniza el transporte zonal de las aguas oceánicas más cálidas de oeste a este por el debilitamiento de los vientos alisios y las Ondas Kelvin oceánicas. La termoclina logra allanarse favoreciendo al calentamiento sub-superficial.

SUSCRÍBITE AL BOLETÍN DE MONITOREO DEL FENÓMENO «EL NIÑO/LA NIÑA»

[Click Aquí](#)

I. Condiciones Océano-Atmosféricas

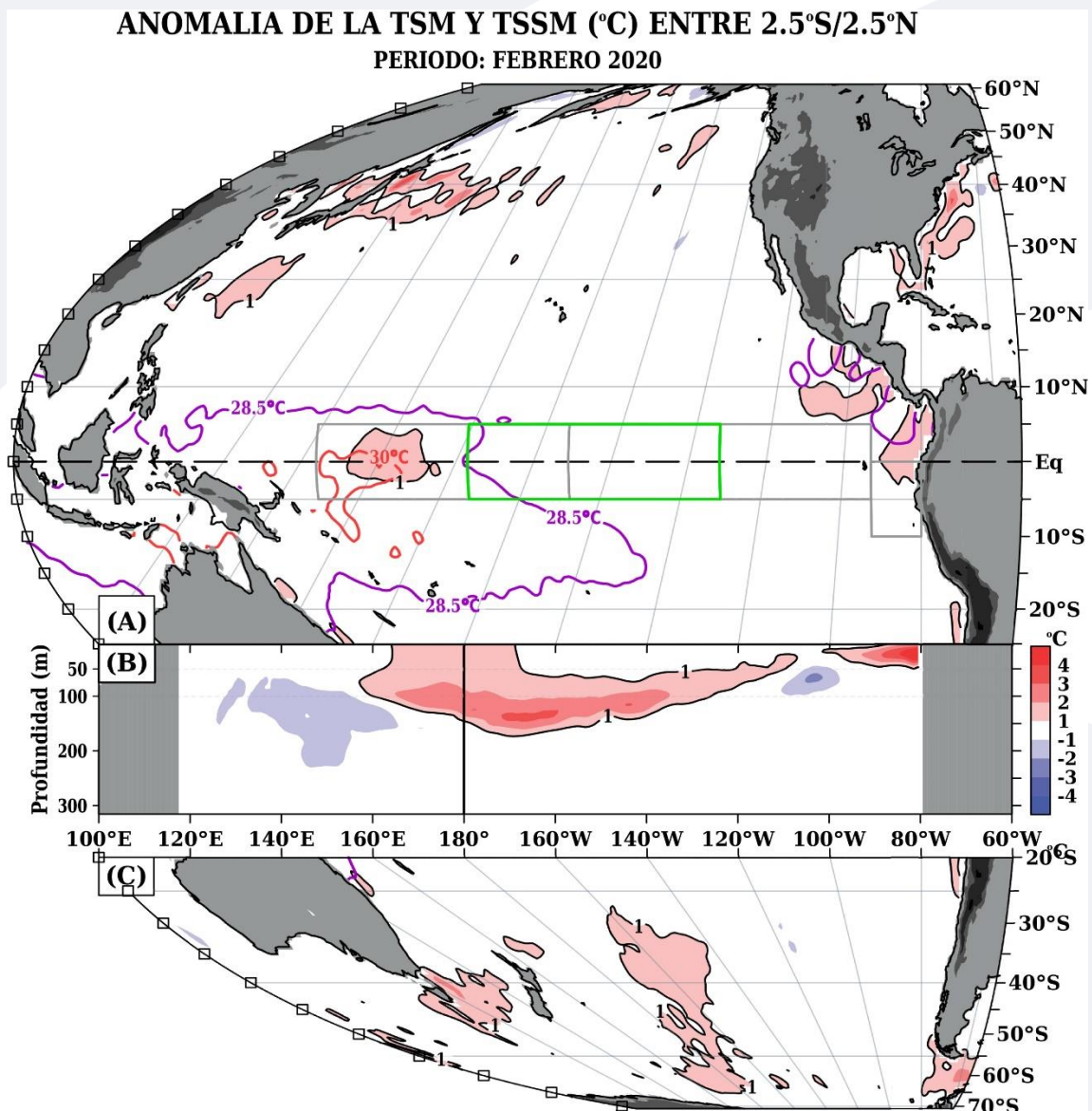
1.1 Pacífico Tropical



Temperatura Superficial del Mar (TSM)

Durante febrero 2020, las anomalías de TSM se incrementaron en la región occidental (Niño 4, +1,2°C) a partir de mediados del mes, y, de manera similar, las temperaturas sub-superficiales del mar (TSSM) a lo largo del ecuador, alcanzando valores positivos entre 180° - 100°W alrededor de 150 m en la región central del Pacífico.

FIGURA 1



Nota: Las coloraciones azules (rojas) indican condiciones frías (cálidas) de la temperatura superficial del mar (TSM) en el Pacífico y las temperaturas sub-superficiales del mar (TSSM) entre la sección ecuatorial 5°S/5°N.

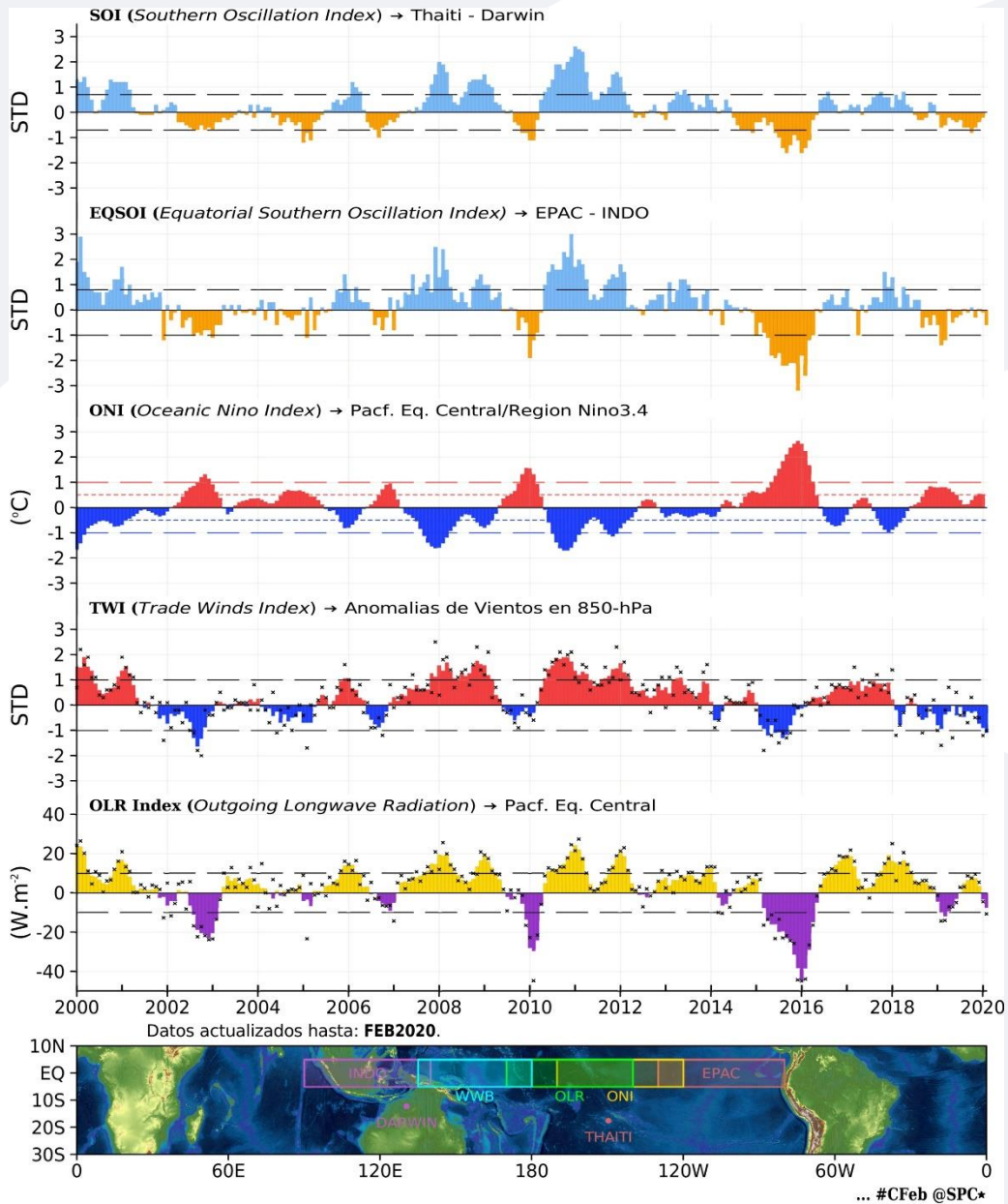
FUENTE: Datos TSM OIStv2y GODAS

■ Índices ENSO



Durante febrero del 2020, la mayoría de indicadores ENSO continúan manteniendo valores alrededor de sus valores climáticos. Entre estas, la diferencia de los campos de presiones en el Ecuador (SOI y EQSOI) mantuvieron valores negativos, aunque débiles. El reciente incremento de los valores positivos del ONI, en promedio alrededor de +0.7°C, se asoció con el debilitamiento alternado de los vientos alisios y la proyección de una Onda Kelvin cálida de hundimiento entre las regiones central y oriental del Pacífico ecuatorial; sin embargo, el patrón de convección continuó presentando valores positivos. Todo ello, en conjunto, evidencia la actual fase neutra del ENSO.

FIGURA 2



Descripción:

Índices mensuales ENSO (El Niño Southern Oscillation) desde enero del 2000 hasta febrero del 2020 con media móvil de 3 meses.

Valores individuales mensuales de los índices WWB y OLR están indicados por "x" en los paneles inferiores.

STD: Valores estandarizados.

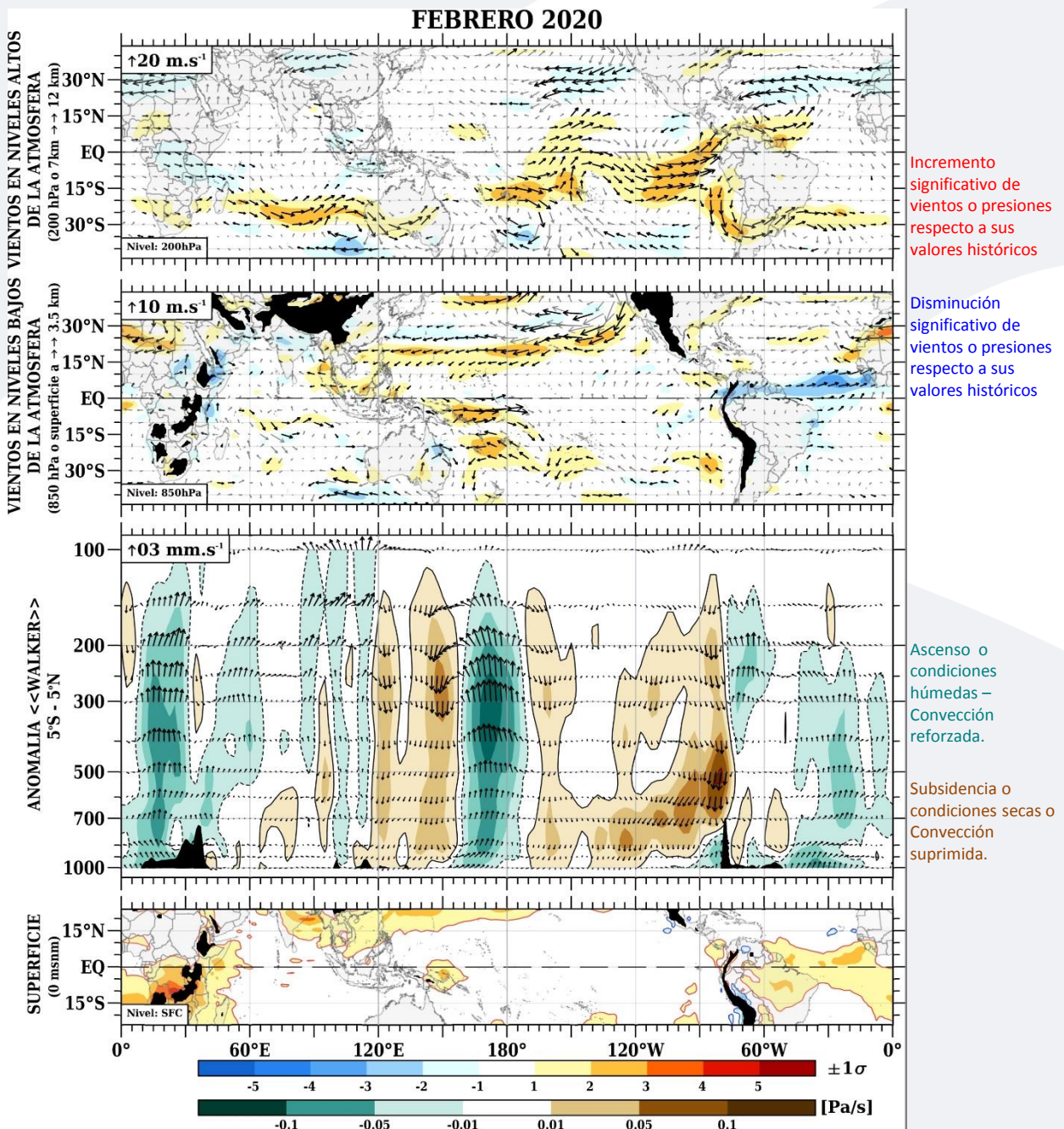
FUENTE: Datos Reanálisis NCAR/NCEP v2

■ **Circulación Atmosférica**



En febrero, el patrón promedio de los flujos de vientos zonales sobre la región central del Océano Pacífico ecuatorial se mantuvieron alrededor de lo normal. En otras regiones, hacia el lado oriental, en niveles bajos se observó el debilitamiento significativo de los alisios; mientras en el niveles altos no se observaron cambio importantes del flujo zonal. La convección tropical se enmarcó al oeste del meridiano de cambio de fecha (180°), donde se observaron ascensos intensos asociados al aún calentamiento anómalo de la TSM y ondas ecuatoriales de variabilidad inter-estacional. En niveles de superficie, anomalías positivas de presión en la región occidental del Pacífico respondieron a los descensos anómalos vía Walker. Sobre el noreste de la costa peruana los ascensos anómalos se vieron inhibidos en gran parte de la estructura vertical atmosférica.

FIGURA 3



FUENTE: Datos Reanálisis NCAR/NCEP v2



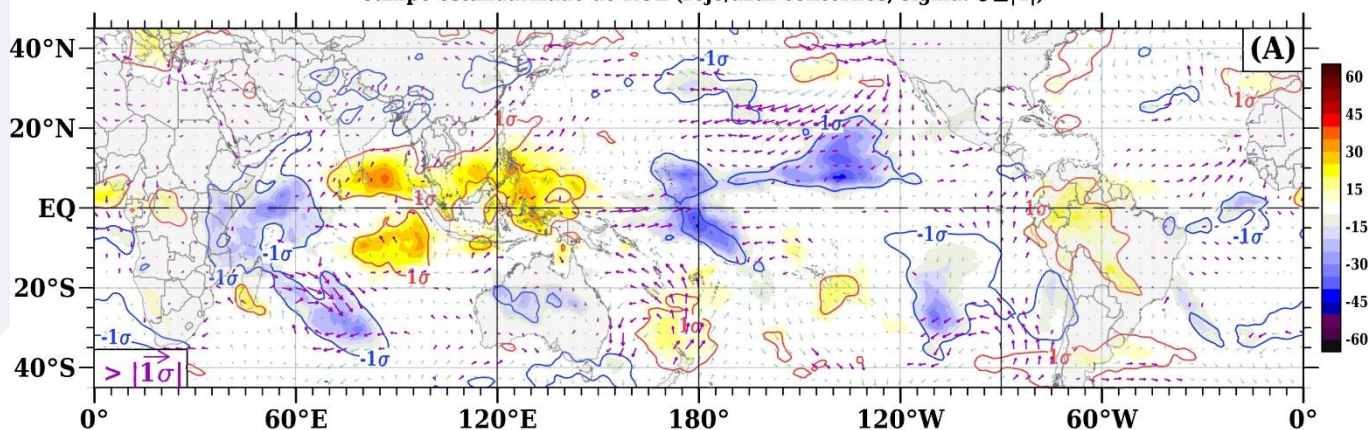
■ Precipitación (convección tropical)

Durante el mes, la convección sobre el Océano Índico occidental se mostró más intensa que a lo largo del Océano Pacífico y Atlántico ecuatorial. La persistencia de patrón anómalo de convección alrededor de 180° se vio reforzada por la influencia de los vientos anómalos del oeste de esta región. Por otro lado, al norte de Australia, noreste de Sudamérica y sur de la región central del Pacífico predominaron días con mayor insolación; afectando especialmente la región de Australia donde se reportaron récords de incendios forestales a consecuencia de la ausencia de precipitaciones. Asimismo, la influencia la prolongación este de Zona de Convergencia del Pacífico Sur (ZCPS) e intensificación de la Zona de Convergencia Intertropical (ZCIT) en la circulación atmosférica sobre el continente, contribuyó en el escenario favorable convección al norte de Perú, el mismo que se redujo al sur del país.

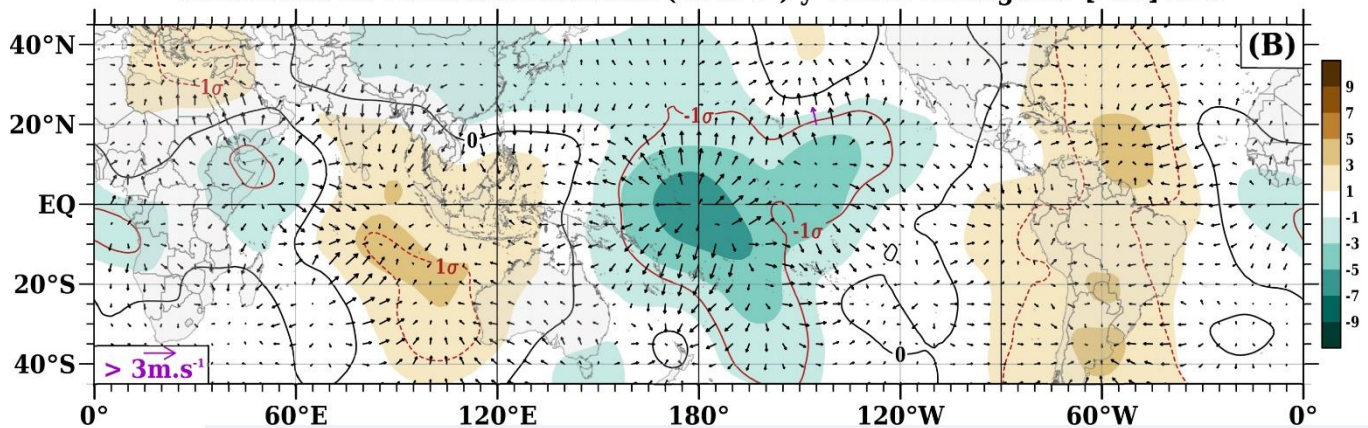
FIGURA 4

Anomalias de Vientos [10m]-sfc & ROL ($W.m^{-2}$)

Campo estandarizado de ROL (rojo/azul-contornos, sigma: $\sigma \geq |1|$)



Anomalias de Velocidad Potencial ($10^6 m^2 s^{-1}$) y Viento Divergente [200]-hPa



Descripción:

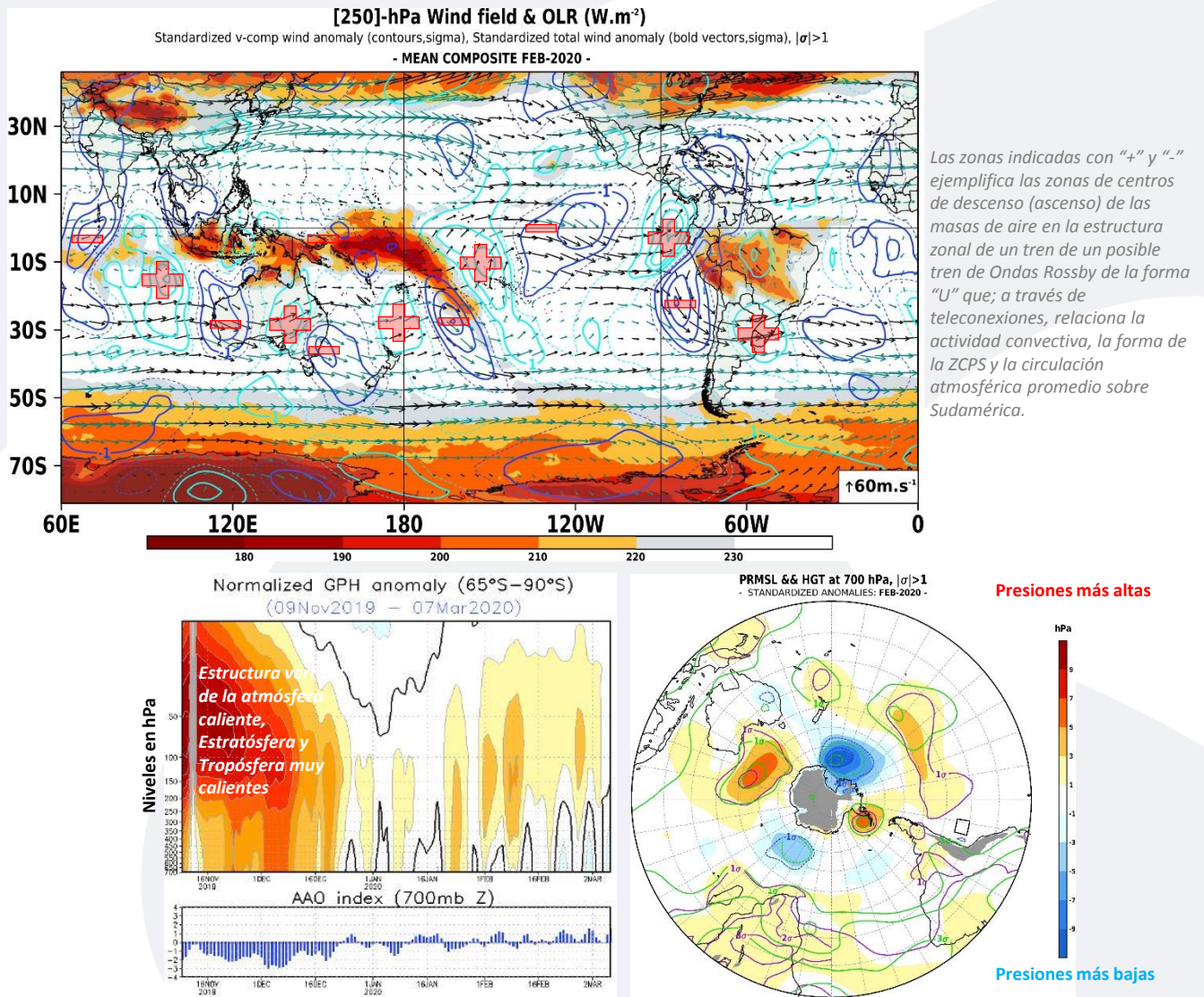
En A) Campo de anomalías de Radiación en Onda Larga (unidades: W/m^2) y vientos a 10 msnm. Matices de color azul (rojo) representan zonas con menor (mayor) liberación de energía, las cuales representan zonas con mayor (menor) desarrollo de nubosidad convectiva. En B) Campo de anomalías de velocidad potencial y viento divergente en la tropósfera alta. Zonas con mayor (menor) velocidad potencial se asocian con mayor (menor) salida desde niveles inferiores, representados por la difluencia (confluencia) del viento divergente. Este último no es afectado por el giro rotacional del viento y permite visualizar la componente zonal del mismo en el Trópico en asociación con Walker.

FUENTE: Datos Reanálisis NCAR/NCEP v2

Forzantes Remotas del Extratropical

La interrelación entre los centros de alta convección del trópico y la ZCPS con la presencia de los flujos zonales de altura frente a la costa de Perú se dieron a través de ondas extratropicales de larga escala. La intervención de estas en la circulación atmosférica de niveles bajos fue evidenciada en la distribución horizontal de las centros anómalos de presión inusuales. A ello se suma la persistencia de varios meses con valores negativos del índice AAO, que si bien se sabe su contribución es mayor durante el invierno, parece haber influenciado en la intensificación de los sistemas de presión de bloqueo en el cinturón de latitudes medias, así como, el comportamiento del Anticiclón del Pacífico Sur.

FIGURA 5



Las zonas indicadas con “+” y “-” ejemplifica las zonas de centros de descenso (ascenso) de las masas de aire en la estructura zonal de un tren de un posible tren de Ondas Rossby de la forma “U” que; a través de teleconexiones, relaciona la actividad convectiva, la forma de la ZCPS y la circulación atmosférica promedio sobre Sudamérica.

Descripción:

Panel superior, promedio del viento total en 250 hPa (tropósfera alta), Radiación en Onda Larga (Proxy de convección), y componente meridional estandarizada del viento (Colores fríos: Flujo sentido norte a sur, Colores claros: Flujo de sentido sur a norte).

Panel inferior: Índice de Oscilación Antártica (AAO), Promedio temporal de AAO entre 65°S y 90°S para el nivel de 700 hPa desde el 09 noviembre 2019 hasta 07 de marzo 2020. En la derecha se muestra el promedio de las presiones reducidas a nivel medio del mar (colores en hPa y contornos mora en unidades de desviación estándar) y la altura de geopotencial en la nivel de 700 hPa (contornos en verde) para el Hemisferio Sur.

FUENTE: Datos Reanálisis NCAR/NCEP v2

1.2 Pacífico Oriental

■ Condiciones costeras



El Anticiclón del Pacífico Sur (APS) se mostró intenso con un núcleo de hasta 1026 hPa y ligeramente anómalo al este de su posición habitual; configuración que continuó forzada por anomalías atmosféricas del Pacífico Sur. La débil movilidad del APS hacia la cordillera de costa de continente dejó presiones negativas cercanas al codo Perú – Chile; y, con ello, el incremento del gradiente de presión mar fuera del litoral, permitiendo el enfriamiento parcial de la TSM a lo largo de la costa; a través, de lo sures anómalamente intensificados.

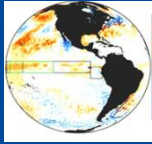
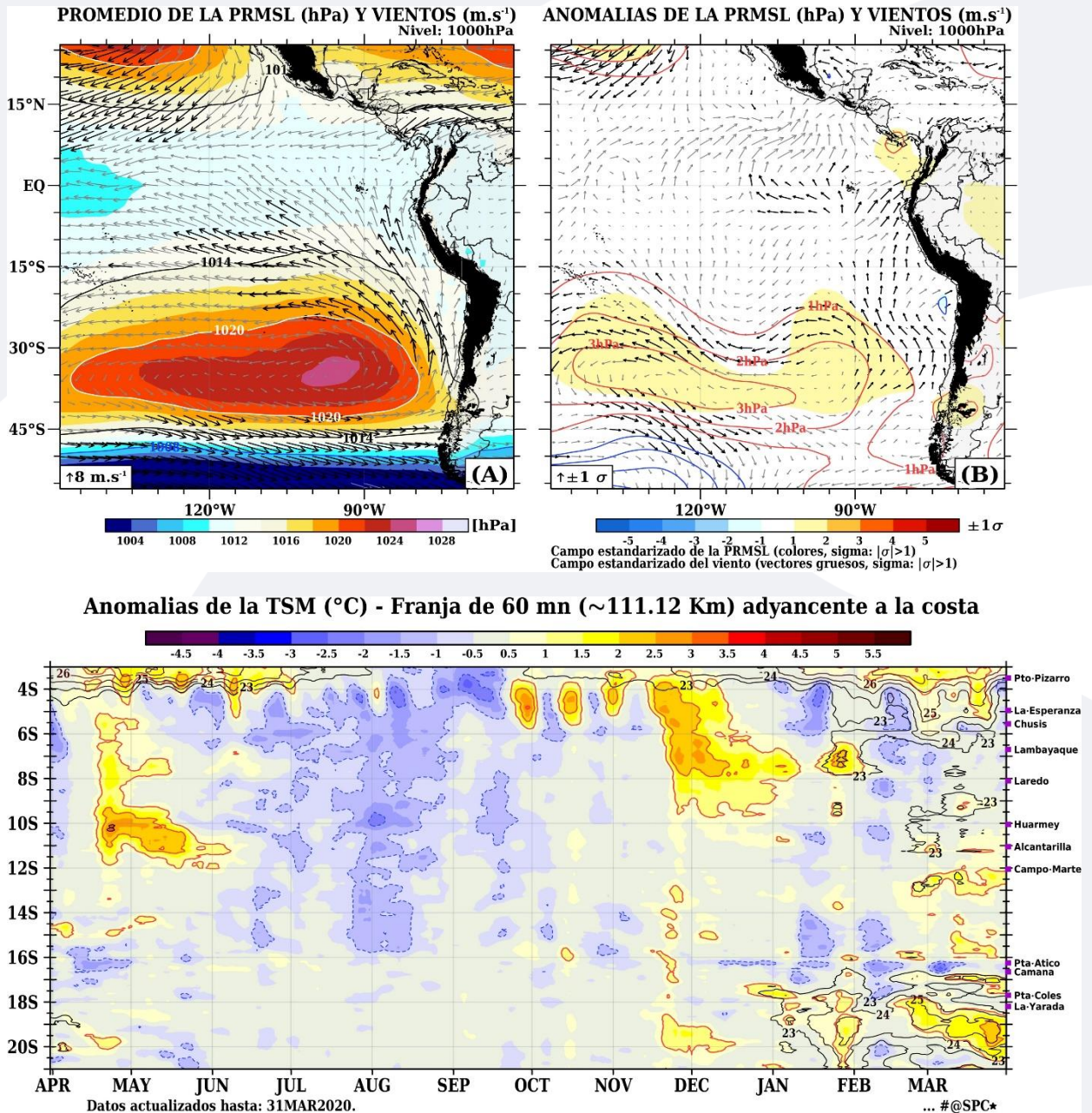


FIGURA 6



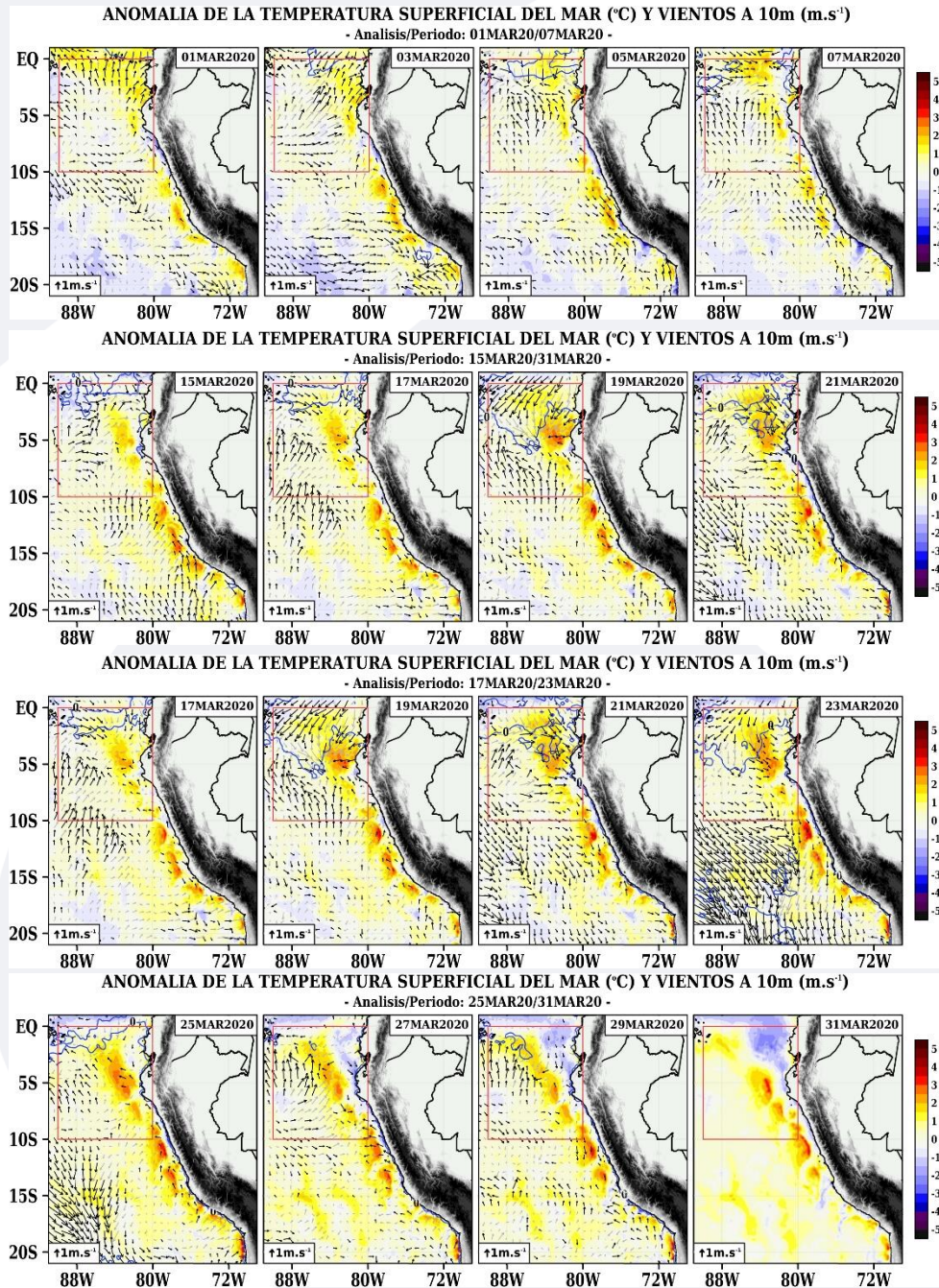
FUENTE (Panel Superior): Datos Reanálisis NCAR/NCEP v2

FUENTE (Panel Inferior): Satélite Polar "OSTIA"

■ ATSM y Vientos Costeros (Avance Diario)

La secuencia diaria de febrero muestra el enfriamiento anómalo de las temperaturas superficiales del mar a partir de la segunda semana, expandiéndose mar afuera en gran parte de la costa peruana. La influencia del APS hasta la primera quincena influenció en la intensificación de los vientos alisios del sureste, asociándose con la disgregación de las anomalías térmicas negativas del agua de mar al sur de Lima. No obstante, el progresivo debilitamiento del viento hacia finales del mes, permitió el calentamiento anómalo de la TSM frente al sur y el retorno a condiciones normales sobre el Niño 1+2. Cabe señalar que se observaron *eddies* anticiclónicos frente a Chicama, lo que permitió la persistencia de anomalías cálidas durante todo el mes.

FIGURA 7

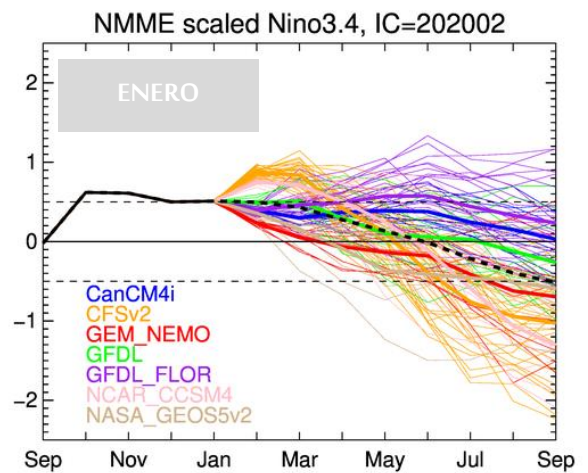
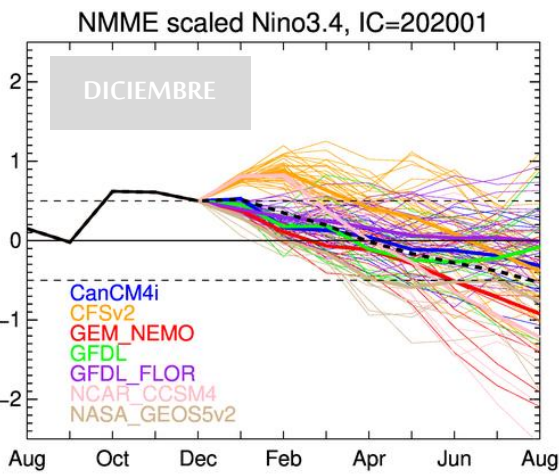


FUENTE: Satélites Polares "OSTIA" – (A)TSM/"ASCAT" – Vientos

II. Perspectivas del fenómeno El Niño/ La Niña Dic-Ene-Feb 2020

En acuerdo con el pronóstico del promedio de los ensambles NMME en el área Niño 3.4, durante el trimestre FMA se espera continúe la condición Neutra del ENSO. A diferencia de los modelos inicializados en diciembre, el modelo acoplado CFSv2 muestra una tendencia positiva para El Niño a finales del otoño austral, no así, para los demás modelos, los cuales muestran incluso un escenario La Niña débil hasta el invierno. En términos de precipitación, para los que resta del verano austral se observa el debilitamiento de la segunda banda de la Zona de Convergencia Intertropical en la región oriental del Pacífico, no contribuyendo en la sucesión de extremos de lluvia sobre la vertiente occidental de los Andes del Perú.

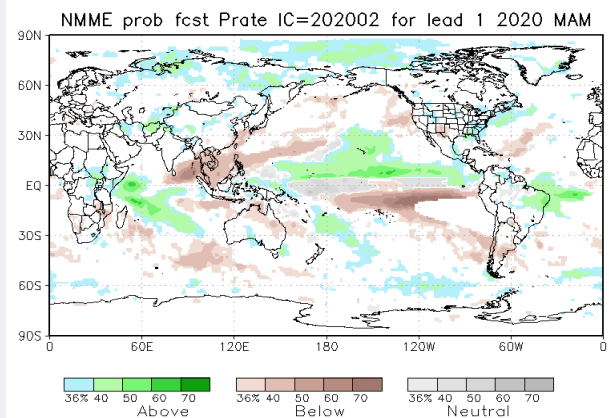
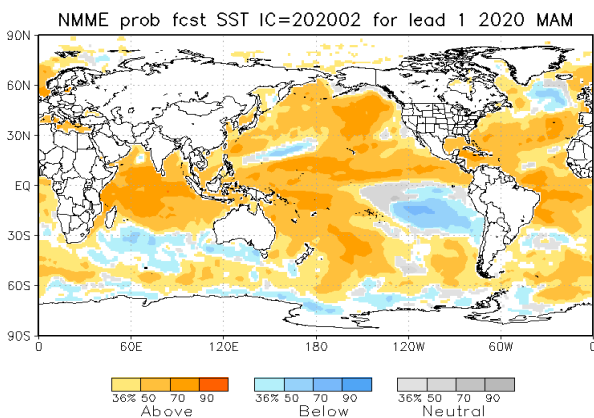
FIGURA 8



Descripción:

Comparativo IC “ENE 2020” vs “FEB 2020” respecto del total de los miembros de ensambles pronóstico de El Niño/La Niña para la región Niño 3.4 hasta el invierno austral.

IC: Condiciones Inicializadas en FEBRERO 2020 para 7 modelos internacionales comprendidos en NMME.



Descripción:

Panel izquierdo: Campo espacial de la probabilidades (calibradas) para el calentamiento (colores cálidos, ej. probabilidad de superar 0.5°C) o enfriamiento (colores fríos, ej. probabilidad por debajo de 0.5°C) anómalo del océano tropical para el siguiente trimestre MAM (Marzo – Abril – Mayo) 2020. Colores grises, indican el dominio de la estacionalidad, y regiones en blanco, débil habilidad predictiva.

Panel derecha: Misma analogía que para las temperaturas superficiales del agua de mar, pero con la precipitación. Zonas de color verde indican regiones con mayor probabilidad de superar el acumulado trimestral de la lluvia para MAM, viceversa.

FUENTE: NMME (The North American Multimodel Ensemble)

■ OTRAS REGIONES DEL PACÍFICO

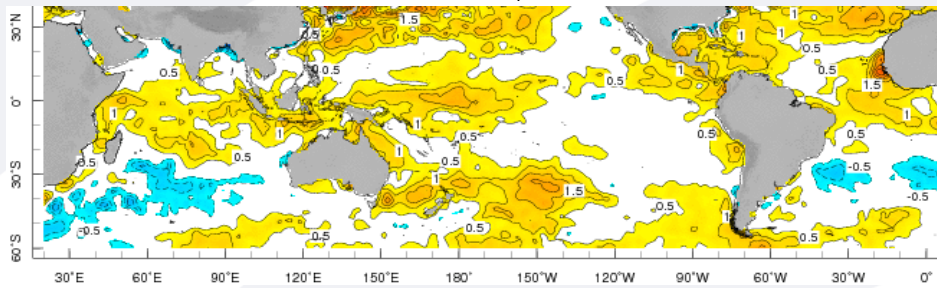
El pronóstico mensual de las anomalías de la TSM en la región suroeste del Pacífico muestran la persistencia de la burbuja cálida evidenciada al sureste de Nueva Zelanda; anomalías condicionadas con modos de variabilidad de latitudes medias. Por otro lado, el pronóstico extendido hacia el otoño austral continua evidenciando anomalías negativas de la TSM a lo largo de la región ecuatorial oriental del Pacífico; patrón espacial que eventualmente podría terminar en “Niño Modoki” durante presente año.

FIGURA 9

Anomalías de la TSM (°C)

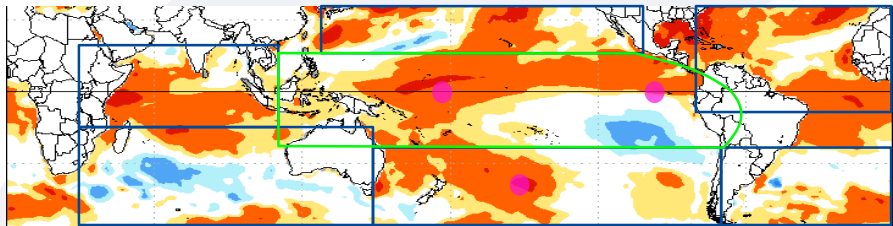
Reynolds and Smith OISST Version 2 monthly sea surface temperature anomaly (in °C) with respect to 1971-2000 base period.

Observado
01 – 29 Feb 2020

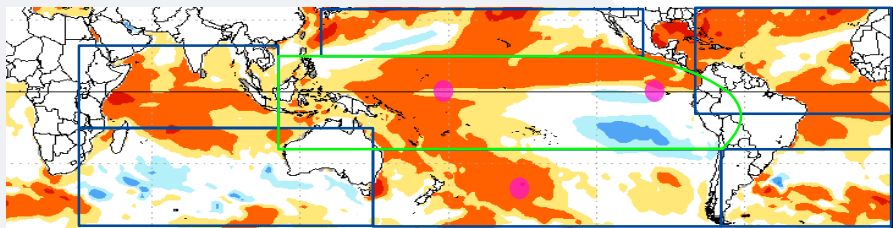


NMME Forecast of SST Anom IC = 202002, Lead 1 to 4.

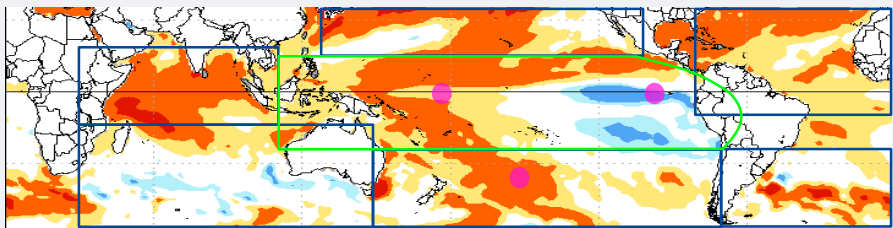
Pronóstico –
Modelos NMME
Marzo 2020



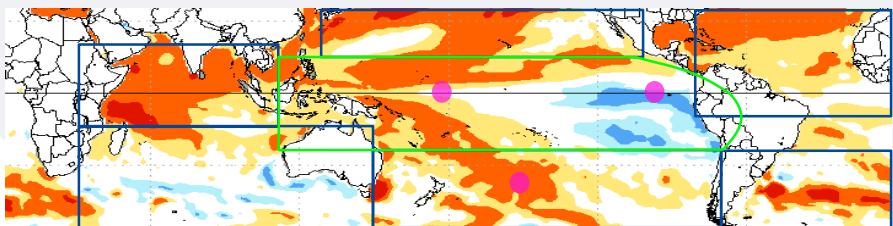
Abril



Mayo



Junio



FUENTE: NMME (The North American Multimodel Ensemble)

GLOSARIO BÁSICO

El Niño-Oscilación del Sur (ENOS): Ciclo natural global del clima, de interacción océano-atmósfera, que ocurre en el Océano Pacífico. La intensidad de sus fases inducen cambios en los patrones normales de lluvia, en la temperatura y en los sistemas de presión de la región tropical del Océano Pacífico, que afecta el clima del mundo.

El Niño: Fase cálida de El Niño-Oscilación del Sur (ENOS).

La Niña: Fase fría El Niño-Oscilación del Sur (ENOS).

Zonas de estudio de El Niño: Área del Pacífico ecuatorial utilizada para monitorear el Fenómeno El Niño (niño4, niño3.4, niño3 y niño 1+2).

Índice Costero El Niño (ICEN): Índice que utiliza la Comisión Multisectorial Encargada del Estudio Nacional del Fenómeno El Niño (ENFEN), Para el monitoreo de El Niño costero. Se obtiene de la anomalía de la temperatura superficial del mar en la región Niño 1+2 (90°W-80°W, 10°S-0°).

Índice de Oscilación del Sur (IOS): Índice que se obtiene de la diferencia de presión atmosférica entre la isla de Tahití y Darwin (Australia). Los valores positivos de IOS corresponden a la fase cálida (El Niño).

Termoclina: Capa oceánica que separa las aguas cálidas subsuperficiales de las aguas frías a consecuencia de la rápida disminución de la temperatura a mayores profundidades.

Onda: Propagación de una perturbación originada en un lugar trasladándose hacia otro. Por ejemplo, cuando tiramos una piedra a una superficie de agua se genera el movimiento ondulatorio.

Onda Kelvin: Las ondas Kelvin se forman cerca de Indonesia (Pacífico occidental) y favorecen el transporte de aguas calientes de oeste a este en dirección a Sudamérica, debido al debilitamiento de los vientos alisios, profundizando la termoclina.

Niveles altos de la atmósfera: Altura desde aproximadamente 7 000 a 18 000 metros.

Niveles medios de la atmósfera: Altura desde aproximadamente 4 000 a 6 000 metros.

Niveles bajos de la atmósfera: Altura desde aproximadamente superficie a 3 500 metros.

Convergencia: Ingreso de masas de aire.

Divergencia: Salida de masas de aire.

Dirección de Meteorología y evaluación Ambiental Atmosférica
Ing. Gabriela Rosas Benancio
grosas@senamhi.gob.pe

Subdirección de Predicción Climática:
Grinia Avalos
gavalos@senamhi.gob.pe

Análisis y redacción:
Cristian Febre Perez
cfebre@senamhi.gob.pe

La Niña

Si desea recibir este Boletín vía e-mail, le solicitamos completar el siguiente Formulario

[SOLICITE AQUI](#)



Próxima actualización: ABRIL 2020

Servicio Nacional de Meteorología e Hidrología del Perú-SENAMHI

Jr. Cahuide 785, Jesús María
Lima 11- Perú

Subdirección de Predicción Climática

Central telefónica: 614 1414, anexo 475